

УДК 631.358:633.521

© І.М. Дударев, к.т.н.

Луцький національний технічний університет

ВИЗНАЧЕННЯ ЕНЕРГЕТИЧНИХ ПАРАМЕТРІВ СЕПАРАТОРА ЛЛЯНОГО ВОРОХУ

У статті представлено результати теоретичних досліджень з визначення енергетичних параметрів коливально-розтягуючого сепаратора лляного вороху.

СЕПАРАТОР, ЛЛЯНИЙ ВОРОХ, ПАРАМЕТРИ, ПОТУЖНІСТЬ.

Постановка проблеми. В залежності від складу лляного вороху, його властивостей та необхідної глибини переробки застосовують той чи інший спосіб сепарації, вибирають засоби для його реалізації та здійснюють їх налагодження, підбираючи раціональні режими роботи. Для відокремлення плутанини з лляного вороху доцільно використовувати сепаратори, що здійснюють розтягування шару вороху та його розпушування шляхом підкидання або надання коливних рухів. Це дозволяє відокремити з лляного вороху вільне насіння та вільні насінневі коробочки без пошкодження.

Аналіз останніх досліджень і публікацій. Дослідженням процесу сепарації лляного вороху присвячені роботи таких науковців як Ю.І. Боярчук, В.Ф. Дідух, А.Ф. Єругін, В.І. Зеленко, С.А. Катченков, Р.В. Кірчук, М.М. Ковальов, В.Е. Кругленя, Д.Ю. Лачуга, В.Б. Мелегов, А.В. Сотченков, І.В. Тараймович та інші. Науковцями досліджено фізико-механічні властивості лляного вороху та його складових, обґрунтовано енергоощадні способи сепарації та запропоновано низку конструкцій сепараторів. Разом з тим, запропонована конструкція сепаратора потребує подальших досліджень з метою обґрунтування його енергетичних параметрів.

Мета дослідження – визначення енергетичних параметрів сепаратора лляного вороху.

Результати дослідження. Дослідимо рух днища з похилим решетом сепаратора лляного вороху (рис. 1). Для цього скористаємося рівнянням Лагранжа другого роду. Днище сепаратора, що жорстко з'єднане з похилим решетом, приводиться в рух чотирма однаковими кривошипно-шатунними механізмами, кривошипи яких синхронно обертаються від обертальних моментів M_o (рис. 2, а). Приймаємо, що лляний ворох та насінневий ворох льону розподілені рівномірно, відповідно, по поверхні днища сепаратора та похилого решета. В

межах одного оберту кривошипів можна прийняти, що лляний ворох та насіннєвий ворох льону нерухомі на поверхнях днища та решета і їх маси стали. Тертям у шарнірах та усіма силами опору знехтуємо. Система, що розглядається, має один ступінь вільності. За узагальнену координату візьмемо кут повороту φ кривошипа OA , тоді рівняння Лагранжа другого роду для узагальненої координати φ :

$$\frac{d}{dt} \left(\frac{\partial T}{\partial \dot{\varphi}} \right) - \frac{\partial T}{\partial \varphi} = Q_{\varphi}, \quad (1)$$

де T – кінетична енергія системи, Дж; $\dot{\varphi}$ – кутова швидкість обертання кривошипа OA , рад/с; Q_{φ} – узагальнена сила, Н·м.

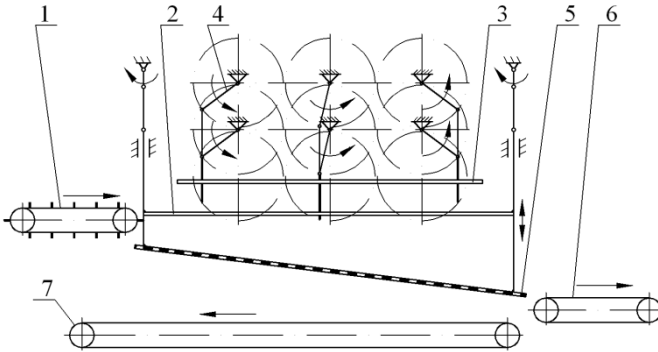


Рис. 1 – Коливально-розтягувальний сепаратор лляного вороху:
 1 – подавальний транспортер; 2 – днище; 3 – кришка;
 4 – розтягувальна секція; 5 – похиле решето;
 6 – вивантажувальний транспортер плутанини;
 7 – транспортер насіннєвого вороху льону

Кінетична енергія системи визначається:

$$T = 4T_1 + 4T_2 + T_3, \quad (2)$$

де T_1 – кінетична енергія кривошипа OA , Дж; T_2 – кінетична енергія шатуна AB , Дж; T_3 – кінетична енергія днища та решета сепаратора разом з ворохом, що розміщений на них, Дж.

Кінетична енергія кривошипа OA [1, 2]:

$$T_1 = \frac{J_{OA} \dot{\varphi}^2}{2} = \frac{m_{OA} r_{OA}^2 \dot{\varphi}^2}{6}, \quad (3)$$

де J_{OA} – момент інерції кривошипа OA [1], кг·м²; m_{OA} – маса кривошипа OA , кг; r_{OA} – довжина кривошипа OA , м.

Таким чином, з врахуванням рівнянь (5), отримаємо:

$$V_{C2} = \sqrt{\dot{x}_{C2}^2 + \dot{y}_{C2}^2} = \sqrt{r_{OA}^2 \dot{\varphi}^2 \left(\sin^2 \varphi + \frac{\cos^2 \varphi}{4} \right)}. \quad (6)$$

Визначимо кутову швидкість ω_{AB} шатуна AB :

$$\omega_{AB} = \frac{V_A}{AP} = \frac{r_{OA} \dot{\varphi} \cos \varphi}{l_{AB}}, \quad (7)$$

де $V_A = r_{OA} \dot{\varphi}$ – швидкість точки A шатуна AB , м/с;

$$AP = \frac{AB \cdot \cos \psi}{\cos \varphi} = \frac{l_{AB}}{\cos \varphi}$$

швидкостей P , м.

Після підстановки формул (6) та (7) у вираз (4), матимемо:

$$T_2 = \frac{m_{AB} r_{OA}^2 \dot{\varphi}^2}{6} (1 + 2 \sin^2 \varphi). \quad (8)$$

Кінетична енергія днища та решета з ворохом:

$$T_3 = m_{cen} V_{C3}^2 / 2, \quad (9)$$

де $m_{cen} = m_1 + m_2 + m_3$ – маса днища та решета сепаратора з ворохом, кг; m_1 – маса днища та решета, кг; m_2 – маса лляного вороху, що знаходиться на днищі, кг; m_3 – маса насінневого вороху льону, що знаходиться на решеті сепаратора, кг; V_{C3} – швидкість центра мас днища та решета сепаратора разом з ворохом, м/с.

Оскільки $V_{C3} = V_B$ (де V_B – швидкість точки B шатуна AB , м/с), причому $V_B = V_A \frac{BP}{AP} = r_{OA} \dot{\varphi} \left(\frac{r_{OA} \cos \varphi}{l_{AB}} + 1 \right) \sin \varphi$, тоді матимемо:

$$T_3 = \frac{m_{cen} r_{OA}^2 \dot{\varphi}^2 \sin^2 \varphi}{2} \left(1 + \frac{r_{OA} \cos \varphi}{l_{AB}} \right)^2. \quad (10)$$

Таким чином, кінетична енергія системи:

$$T = r_{OA}^2 \dot{\varphi}^2 \left(\frac{2}{3} (m_{OA} + m_{AB} (1 + 2 \sin^2 \varphi)) + \frac{m_{cen}}{2} \left(\sin^2 \varphi + \frac{r_{OA} \sin 2\varphi}{l_{AB}} \left(\sin \varphi + \frac{r_{OA} \sin 2\varphi}{4l_{AB}} \right) \right) \right). \quad (11)$$

Визначимо узагальнену силу Q_φ , для цього складемо вираз елементарної роботи активних сил:

$$\delta A = 4M_O \delta \varphi - 2r_{OA} m_{OA} g \sin \varphi \delta \varphi - 2r_{OA} m_{AB} g \sin \varphi \delta \varphi - r_{OA} m_{cen} g \sin \varphi \delta \varphi. \quad (12)$$

Узагальнену силу отримаємо з виразу (12):

$$Q_\varphi = 4M_O - (2(m_{OA} + m_{AB}) + m_{cen})r_{OA} g \sin \varphi. \quad (13)$$

Обчислимо частинні похідні від кінетичної енергії системи за узагальненою швидкістю та узагальненою координатою:

$$\frac{\partial T}{\partial \dot{\varphi}} = r_{OA}^2 \dot{\varphi} \left(\frac{4}{3} (m_{OA} + m_{AB} (1 + 2 \sin^2 \varphi)) + m_{cen} \left(\sin^2 \varphi + \frac{r_{OA} \sin 2\varphi}{l_{AB}} \left(\sin \varphi + \frac{r_{OA} \sin 2\varphi}{4l_{AB}} \right) \right) \right), \quad (14)$$

$$\frac{\partial T}{\partial \varphi} = \left(\left(\frac{8}{3} m_{AB} + m_{cen} \right) \cos \varphi + \frac{m_{cen} r_{OA}}{l_{AB}} (\cos 2\varphi + \cos^2 \varphi) \right) r_{OA}^2 \dot{\varphi}^2 \sin \varphi. \quad (15)$$

Візьмемо похідну від виразу (14) за часом:

$$\begin{aligned} \frac{d}{dt} \left(\frac{\partial T}{\partial \dot{\varphi}} \right) &= r_{OA}^2 \ddot{\varphi} \left(\frac{4}{3} (m_{OA} + m_{AB} (1 + 2 \sin^2 \varphi)) + m_{cen} \left(\sin^2 \varphi + \frac{r_{OA} \sin 2\varphi}{l_{AB}} \left(\sin \varphi + \frac{r_{OA} \sin 2\varphi}{4l_{AB}} \right) \right) \right) + \\ &+ r_{OA}^2 \dot{\varphi}^2 \left(\left(\frac{8}{3} m_{AB} + m_{cen} \right) \sin 2\varphi + \frac{m_{cen} r_{OA}}{l_{AB}} (2 \sin \varphi \cos 2\varphi + \cos \varphi \sin 2\varphi + \right. \\ &\left. + \frac{r_{OA} \sin 2\varphi \cos 2\varphi}{l_{AB}} \right). \end{aligned} \quad (16)$$

Підставляючи вирази (13) – (16) у рівняння Лагранжа другого роду (1), отримаємо диференціальне рівняння руху днища та решета сепаратора з ворохом:

$$\begin{aligned} &r_{OA}^2 \ddot{\varphi} \left(\frac{4}{3} (m_{OA} + m_{AB} (1 + 2 \sin^2 \varphi)) + m_{cen} \left(\sin^2 \varphi + \frac{r_{OA} \sin 2\varphi}{l_{AB}} \left(\sin \varphi + \frac{r_{OA} \sin 2\varphi}{4l_{AB}} \right) \right) \right) + \\ &+ r_{OA}^2 \dot{\varphi}^2 \left(\frac{1}{2} \left(\frac{8}{3} m_{AB} + m_{cen} \right) \sin 2\varphi + \frac{m_{cen} r_{OA}}{l_{AB}} \left(\sin 3\varphi + \frac{r_{OA} \sin 2\varphi \cos 2\varphi}{l_{AB}} - \right. \right. \\ &\left. \left. - \sin \varphi \cos^2 \varphi \right) \right) = 4M_O - (2(m_{OA} + m_{AB}) + m_{cen})r_{OA} g \sin \varphi. \end{aligned} \quad (17)$$

Оскільки обертання кривошипів відбувається зі сталою кутовою швидкістю $\dot{\varphi} = \omega_{OA} = const$, тоді прискорення кривошипів

буде $\ddot{\varphi}=0$. З врахуванням зазначеного з рівняння (17) можна визначити обертальний момент, що прикладений до кривошипа:

$$M_o = \frac{r_{oA}^2 \omega_{oA}^2}{4} \left(\frac{1}{2} \left(\frac{8}{3} m_{AB} + m_{cen.} \right) \sin 2\varphi + \right. \\ \left. + \frac{m_{cen.} r_{oA}}{l_{AB}} (\sin 3\varphi + \frac{r_{oA} \sin 2\varphi \cos 2\varphi}{l_{AB}} - \right. \\ \left. - \sin \varphi \cos^2 \varphi) \right) + \frac{(2(m_{oA} + m_{AB}) + m_{cen.}) r_{oA} g \sin \varphi}{4}. \quad (18)$$

Затрати потужності N_{cen1} (Вт) на привод днища та решета сепаратора з ворохом складають:

$$N_{cen1} = 4M_o \omega_{oA}. \quad (19)$$

За допомогою функції Maximize у системі комп'ютерної математики MathCAD, використовуючи залежності (18) та (19) встановлено, що найбільше значення моменту $M_o = 4,08$ Н·м досягається при куті повороту кривошипа $\varphi = 1,141$ рад. Саме при цьому значенні кута φ затрати потужності на привод днища та решета сепаратора з ворохом будуть максимальними $N_{cen1} = 244,6$ Вт.

Визначимо затрати енергії на привод однієї гребінки розтягувальної секції коливально-розтягувального сепаратора. Для цього складемо рівняння Лагранжа другого роду. Привод гребінки з пальцями розтягувальної секції здійснюється від чотирьох кривошипів (рис. 2, б), що мають однакову довжину $r_{p.c.}$ і масу та синхронно обертаються від обертальних моментів $M_{p.c.}$. Кінці кривошипів попарно з'єднані шатунами, до яких жорстко прикріплена гребінка з пальцями. Пальці гребінки входять в шар лляного вороху при куті повороту кривошипів $\varphi_{p.c.} = 0$. Приймаємо, що саме з цього моменту розпочинається переміщення порції лляного вороху, яка перед гребінкою, днищем сепаратора і завершується при виході пальців з шару матеріалу, що відбувається при куті повороту кривошипів $\varphi_{p.c.} = \pi$. Також приймемо, що порція лляного вороху, яка перед гребінкою, не розтягується і не стискається та зберігаючи однакову рівномірно розподілену за об'ємом масу (оскільки маса відокремленого насінневого вороху незначна у порівнянні з масою плутанини) переміщується пальцями нерухомим днищем (знехтуємо коливним рухом днища внаслідок невеликої амплітуди коливань). Крім

того, пальці гребінки долають силу опору розтягу F_p шару лляного вороху. Приймаємо, що сила F_p залишається сталою вздовж робочої зони розтягувальної секції, а її значення рівне найбільшому значенню на початку розтягування шару вороху. Тертям у шарнірах та між пальцями і шаром вороху знехтуємо. Система, що розглядається (розтягувальна секція – порція лляного вороху), має один ступінь вільності. За узагальнену координату візьмемо кут повороту $\varphi_{p.c.}$ кривошипа $O'A'$. Рівняння Лагранжа другого роду для узагальненої координати $\varphi_{p.c.}$ матиме вигляд:

$$\frac{d}{dt} \left(\frac{\partial T_{p.c.}}{\partial \dot{\varphi}_{p.c.}} \right) - \frac{\partial T_{p.c.}}{\partial \varphi_{p.c.}} = Q_{\varphi_{p.c.}}, \quad (20)$$

де $T_{p.c.}$ – кінетична енергія системи, Дж; $Q_{\varphi_{p.c.}}$ – узагальнена сила, Н·м; $\dot{\varphi}_{p.c.}$ – кутова швидкість обертання кривошипа $O'A'$, рад/с.

Кінетична енергія системи визначається:

$$T_{p.c.} = 4T_{1p.c.} + 2T_{2p.c.} + T_{3p.c.} + T_{4p.c.}, \quad (21)$$

де $T_{1p.c.}$ – кінетична енергія кривошипа $O'A'$, Дж; $T_{2p.c.}$ – кінетична енергія шатуна $A'B'$, Дж; $T_{3p.c.}$ – кінетична енергія гребінки з пальцями, Дж; $T_{4p.c.}$ – кінетична енергія порції лляного вороху, яка перед гребінкою, Дж.

Кінетична енергія кривошипа $O'A'$ [1, 2]:

$$T_{1p.c.} = \frac{J_{O'A'} \dot{\varphi}_{p.c.}^2}{2} = \frac{m_{O'A'} r_{p.c.}^2 \dot{\varphi}_{p.c.}^2}{6}, \quad (22)$$

де $J_{O'A'} = \frac{m_{O'A'} r_{p.c.}^2}{3}$ – момент інерції кривошипа $O'A'$ відносно осі обертання [1], кг·м²; $m_{O'A'}$ – маса кривошипа $O'A'$, кг; $r_{p.c.}$ – довжина кривошипа $O'A'$, м.

Кінетична енергія шатуна $A'B'$:

$$T_{2p.c.} = \frac{m_{A'B'} V_{A'B'}^2}{2} = \frac{m_{A'B'} r_{p.c.}^2 \dot{\varphi}_{p.c.}^2}{2}, \quad (23)$$

де $m_{A'B'}$ – маса шатуна $A'B'$, кг; $V_{A'B'}$ – швидкість центра мас шатуна $A'B'$, що розміщений у точці C'_2 ($V_{A'B'} = V_{A'} = r_{p.c.} \dot{\varphi}_{p.c.}$), м/с; $V_{A'}$ – швидкість точки A' кривошипа $O'A'$, м/с.

Кінетична енергія гребінки з пальцями:

$$T_{3p.c.} = \frac{m_{зреб.} V_{зреб.}^2}{2} = \frac{m_{зреб.} r_{p.c.}^2 \dot{\varphi}_{p.c.}^2}{2}, \quad (24)$$

де $m_{зреб.}$ – маса гребінки з пальцями, кг; $V_{зреб.}$ – швидкість центра мас гребінки з пальцями ($V_{зреб.} = V_{A'B'} = r_{p.c.} \dot{\varphi}_{p.c.}$), м/с.

Кінетична енергія порції льяного вороху, яка перед гребінкою:

$$T_{4p.c.} = \frac{m_{нор.} V_{нор.}^2}{2} = \frac{m_{нор.} r_{p.c.}^2 \dot{\varphi}_{p.c.}^2 \sin^2 \varphi_{p.c.}}{2}, \quad (25)$$

де $m_{нор.}$ – маса порції льяного вороху, яка перед гребінкою, кг; $V_{нор.}$ – швидкість порції льяного вороху ($V_{нор.} = V_{зреб.} \sin \varphi_{p.c.}$), м/с.

Кінетична енергії розглядуваної системи:

$$T_{p.c.} = r_{p.c.}^2 \dot{\varphi}_{p.c.}^2 \left(\frac{2}{3} m_{O'A'} + m_{A'B'} + \frac{1}{2} (m_{зреб.} + m_{нор.} \sin^2 \varphi_{p.c.}) \right). \quad (26)$$

Визначимо узагальнену силу $Q_{\varphi_{p.c.}}$, для цього складемо вираз елементарної роботи активних сил:

$$\delta A_{p.c.} = 4M_{p.c.} \delta \varphi_{p.c.} + (2(m_{O'A'} + m_{A'B'}) + m_{зреб.}) g r_{p.c.} \cos \varphi_{p.c.} \delta \varphi_{p.c.} - (f_n N_n + F_p) r_{p.c.} \sin \varphi_{p.c.} \delta \varphi_{p.c.} \quad (27)$$

де $F_{мер.} = f_n N_n$ – сила тертя порції льяного вороху поверхню днища сепаратора, Н; N_n – нормальна реакція поверхні днища, Н; F_p – сила опору розтягу шару льяного вороху, Н; f_n – коефіцієнт тертя льяного вороху по поверхні днища.

Елементарна робота сил $m_{нор.} g$ та N_n дорівнює нулю, оскільки сили перпендикулярні до можливого переміщення порції вороху.

Узагальнену силу отримаємо з виразу (27):

$$Q_{\varphi_{p.c.}} = 4M_{p.c.} + (2(m_{O'A'} + m_{A'B'}) + m_{зреб.}) g r_{p.c.} \cos \varphi_{p.c.} - (f_n N_n + F_p) r_{p.c.} \sin \varphi_{p.c.} \quad (28)$$

Обчислимо частинні похідні від кінетичної енергії системи за узагальноною швидкістю та узагальноною координатою:

$$\frac{\partial T_{p.c.}}{\partial \dot{\varphi}_{p.c.}} = r_{p.c.}^2 \dot{\varphi}_{p.c.} \left(2 \left(\frac{2}{3} m_{O'A'} + m_{A'B'} \right) + m_{зреб.} + m_{нор.} \sin^2 \varphi_{p.c.} \right), \quad (29)$$

$$\frac{\partial T_{p.c.}}{\partial \varphi_{p.c.}} = \frac{1}{2} m_{нор.} r_{p.c.}^2 \dot{\varphi}_{p.c.}^2 \sin 2\varphi_{p.c.} \quad (30)$$

Візьмемо похідну від виразу (29) по часу:

$$\frac{d}{dt} \left(\frac{\partial T_{p.c.}}{\partial \dot{\varphi}_{p.c.}} \right) = r_{p.c.}^2 \ddot{\varphi}_{p.c.} \left(2 \left(\frac{2}{3} m_{O'A'} + m_{A'B'} \right) + m_{зреб.} + m_{ноп.} \sin^2 \varphi_{p.c.} \right) + m_{ноп.} r_{p.c.}^2 \dot{\varphi}_{p.c.}^2 \sin 2\varphi_{p.c.} \quad (31)$$

Підставляючи вирази (28) – (31) у рівняння Лагранжа другого роду (20), отримаємо диференціальне рівняння руху системи:

$$r_{p.c.}^2 \ddot{\varphi}_{p.c.} \left(2 \left(\frac{2}{3} m_{O'A'} + m_{A'B'} \right) + m_{зреб.} + m_{ноп.} \sin^2 \varphi_{p.c.} \right) + 1/2 \cdot m_{ноп.} r_{p.c.}^2 \dot{\varphi}_{p.c.}^2 \sin 2\varphi_{p.c.} = 4M_{p.c.} + (2(m_{O'A'} + m_{A'B'}) + m_{зреб.}) g r_{p.c.} \cos \varphi_{p.c.} - (f_n N_n + F_p) r_{p.c.} \sin \varphi_{p.c.} \quad (32)$$

Визначимо нормальну реакцію поверхні днища N_n :

$$N_n = m_{ноп.} g \quad (33)$$

Сила опору розтягу F_p льяного вороху [3]:

$$F_p = f_p S_{ноп.} \quad (34)$$

де f_p – коефіцієнт, що встановлюється експериментальним шляхом і залежить від вологості льяного вороху та вмісту плутанини у ньому ($f_p = (6,7 \dots 9,3) \cdot 10^3$ Н/м² [3], Н/м²; $S_{ноп.}$ – площа поперечного перерізу шару (порції) льяного вороху, що розтягується, м²).

Оскільки обертання кривошипів відбувається зі сталою кутовою швидкістю $\dot{\varphi}_{p.c.} = \omega_{O'A'} = const$, тоді прискорення кривошипів буде $\ddot{\varphi}_{p.c.} = 0$. З врахуванням зазначеного, а також виразів (33) і (34), з рівняння (32) можна визначити обертальний момент:

$$M_{p.c.} = \frac{m_{ноп.} r_{p.c.}^2 \omega_{O'A'}^2 \sin 2\varphi_{p.c.}}{8} + \frac{r_{p.c.}}{4} ((f_n m_{ноп.} g + f_p S_{ноп.}) \sin \varphi_{p.c.} - (2(m_{O'A'} + m_{A'B'}) + m_{зреб.}) g \cos \varphi_{p.c.}). \quad (35)$$

За допомогою функції Maximize у системі MathCAD використовуючи залежність (35) встановлено, що найбільше значення обертального моменту для першої розтягувальної секції $M_{p.c.1} = 101,65$ Н·м досягається при куті повороту кривошипа $\varphi_{p.c.} = 1,687$ рад., для другої секції – $M_{p.c.2} = 101,6$ Н·м досягається при куті повороту

кривошипа $\varphi_{p.c.} = 1,683$ рад., для третьої – $M_{p.c.3} = 101,51$ Н·м досягається при куті повороту кривошипа $\varphi_{p.c.} = 1,675$ рад.

Затрати потужності N_{cen2} (Вт) на привод трьох розтягувальних секцій сепаратора складають:

$$N_{cen2} = 4(M_{p.c.1}\omega_{p.c.1} + M_{p.c.2}\omega_{p.c.2} + M_{p.c.3}\omega_{p.c.3}), \quad (36)$$

де $M_{p.c.1}$, $M_{p.c.2}$, $M_{p.c.3}$ – оберталні моменти, що прикладені до кривошипів, відповідно, першої, другої та третьої розтягувальних секцій сепаратора, які розраховуються за виразом (35), Н·м; $\omega_{p.c.1}$, $\omega_{p.c.2}$, $\omega_{p.c.3}$ – кутові швидкості обертання кривошипів, відповідно, першої, другої та третьої розтягувальних секцій сепаратора, рад./с.

Затрати потужності на привод трьох розтягувальних секцій, що розраховані за формулою (36), при найбільших значеннях оберталних моментів розтягувальних секцій $M_{p.c.1} = 101,65$ Н·м, $M_{p.c.2} = 101,6$ Н·м, $M_{p.c.3} = 101,51$ Н·м будуть максимальними і, відповідно, складатимуть $N_{cen2} = 5,46$ кВт.

Загальна потужність N_{cen} (Вт), що необхідна для привода днища та трьох розтягувальних секцій сепаратора льяного вороху:

$$N_{cen} = N_{cen1} + N_{cen2}. \quad (37)$$

Таким чином, загальна потужність, що необхідна для привода днища та трьох розтягувальних секцій сепаратора льяного вороху складе $N_{cen} = 5,7$ кВт.

Висновок. Отримані теоретичним шляхом залежності дозволяють визначити затрати потужності, що необхідна для привода днища та трьох розтягувальних секцій сепаратора льяного вороху.

Література

1. Бондаренко А.А. Теоретична механіка: підручник: У 2 ч. / А.А. Бондаренко, О.О. Дубінін, О.М. Переяславцев. – Ч. 2: Динаміка. – К.: Знання, 2004. – 590 с.
2. Павловський М.А. Теоретична механіка: підручник / М.А. Павловський. – К.: Техніка, 2002. – 512 с.
3. Кірчук Р.В. Розробка сепаратора вороху льону: дис... канд. техн. наук: 05.05.11 / Кірчук Руслан Васильович; Луцький держ. технічний ун-т. – Луцьк, 2001. – 198 с.

Рецензент д.т.н., проф. В.Ф. Дідух